

Fig. 1: "Soft-In Soft-Out" -Decoder  
a

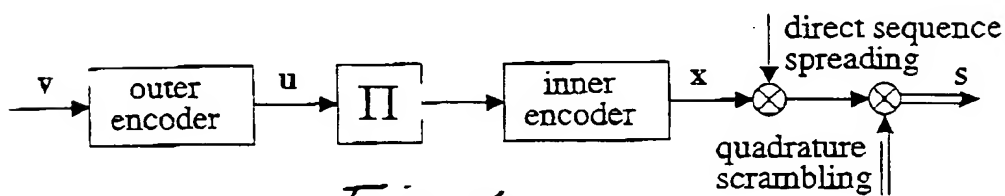


Fig. 1b

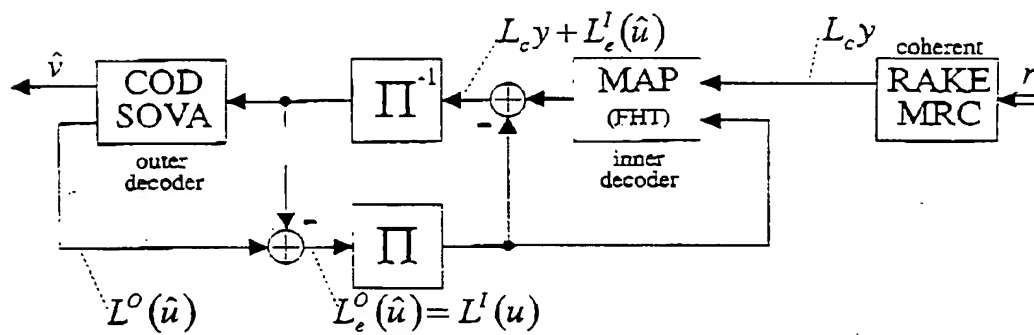


Fig. 2

10043710.010902

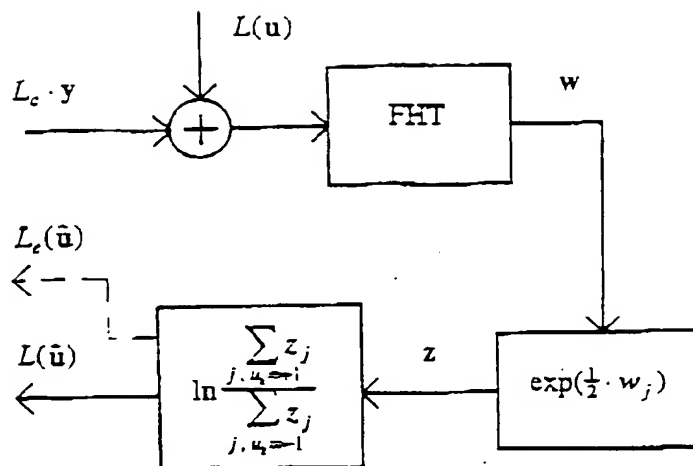


Fig. 3 : Decoderstruktur für den inneren Hadamard-Code



Fig. 4 : Verdeutlichung der Näherung für  $\epsilon$

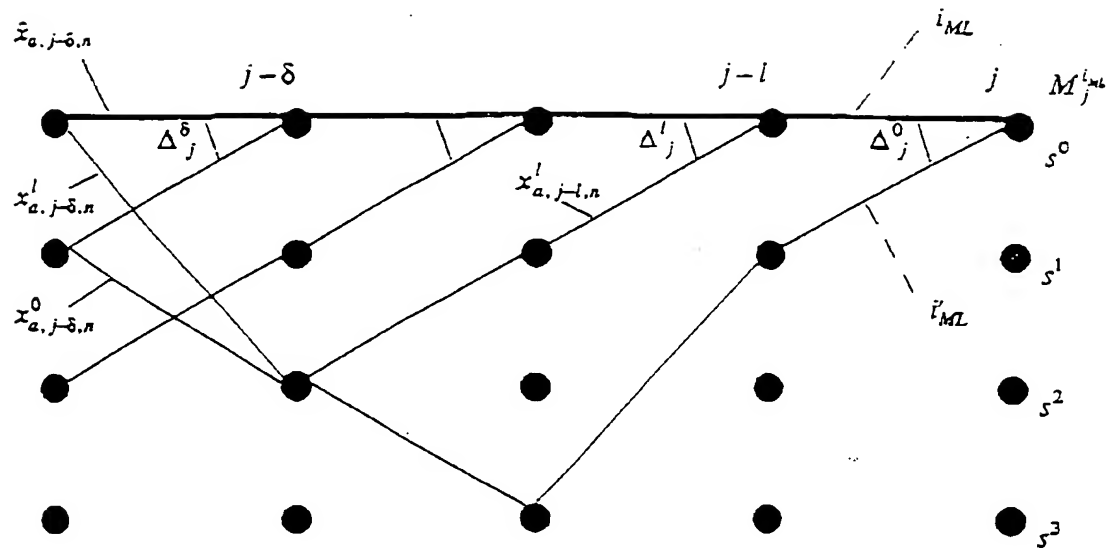


Fig.5: Trellisdiagramm mit verworfenen Pfaden entlang des Maximum-Likelihood-Pfades

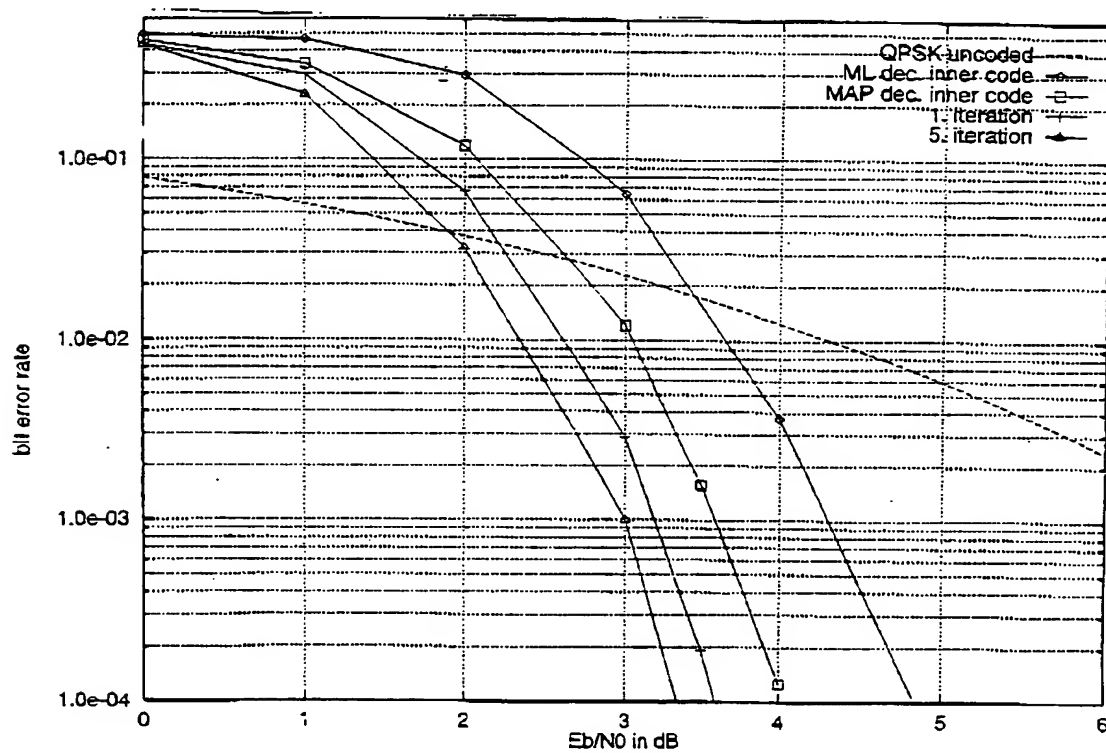


Fig.6

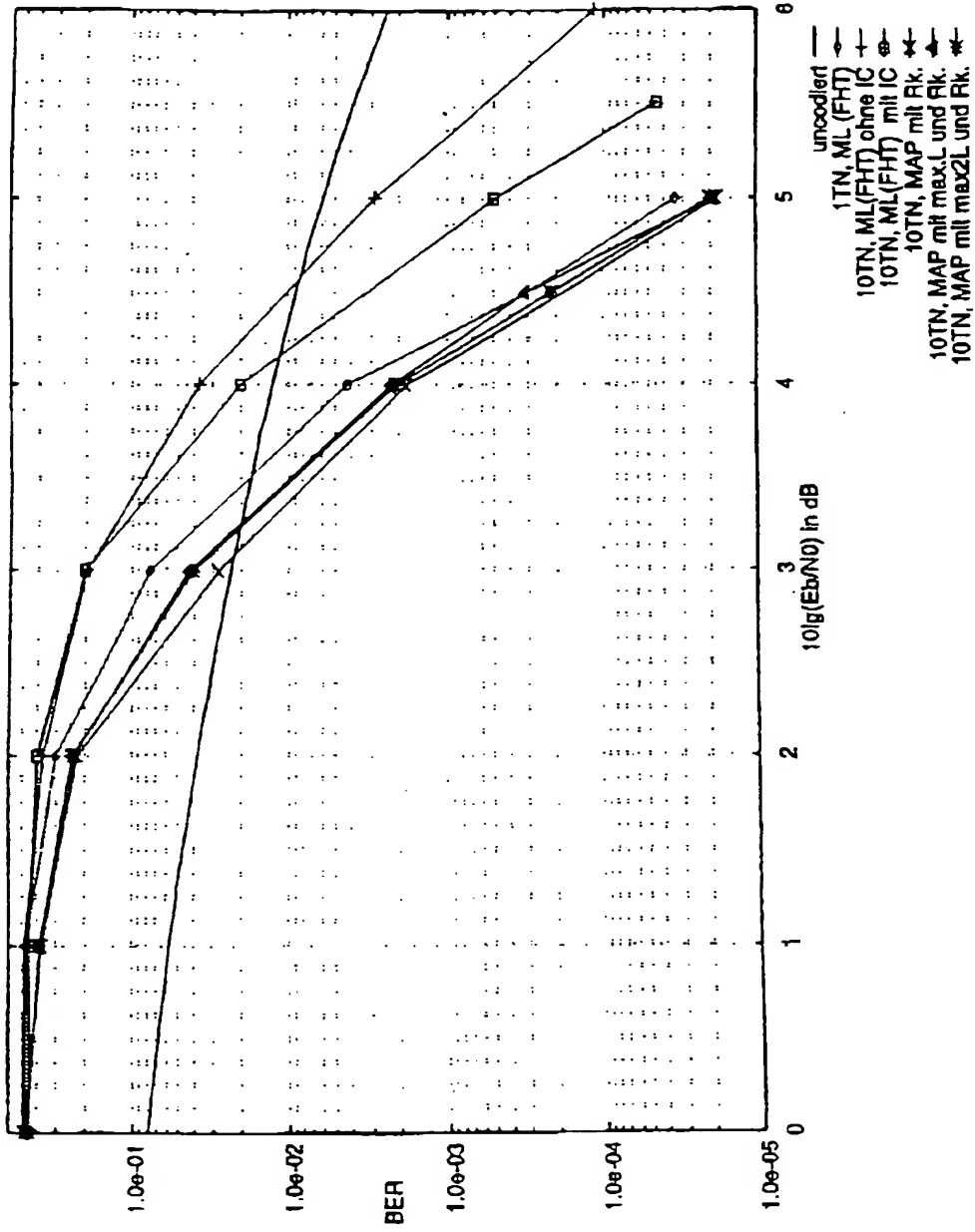


Fig. 7: Vergleich der IC mit einem System mit MAP-Decodierung, mit Verwendung der Vereinfachung, AWGN,  $U=10$ ,  $J_{ges}=128$

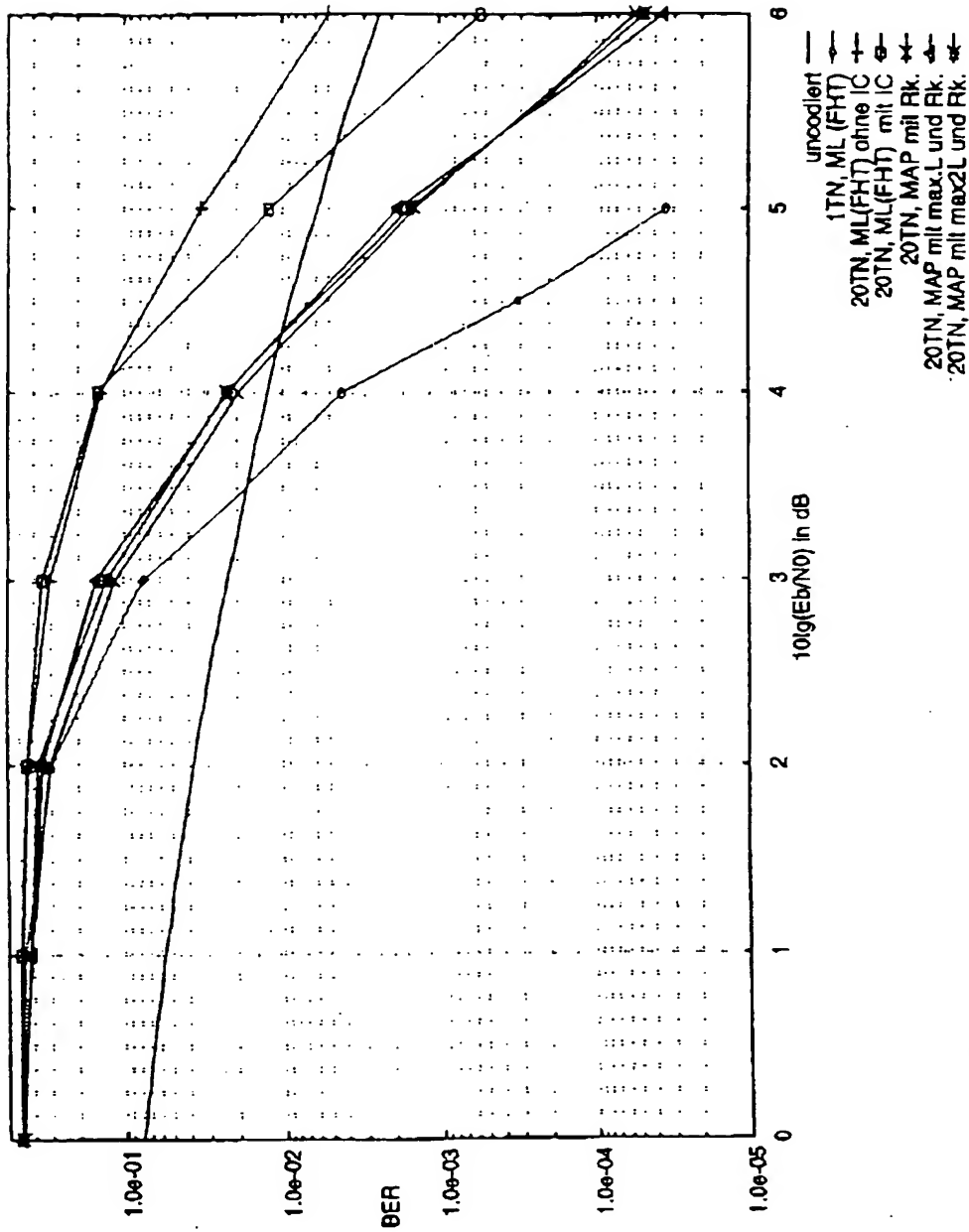


Fig. 8 : Vergleich der IC mit einem System mit MAP-Decodierung, mit Verwendung der

Vereinfachung, AWGN,  $U=20$ ,  $J_{ges}=128$

2060FO"0TZE400T

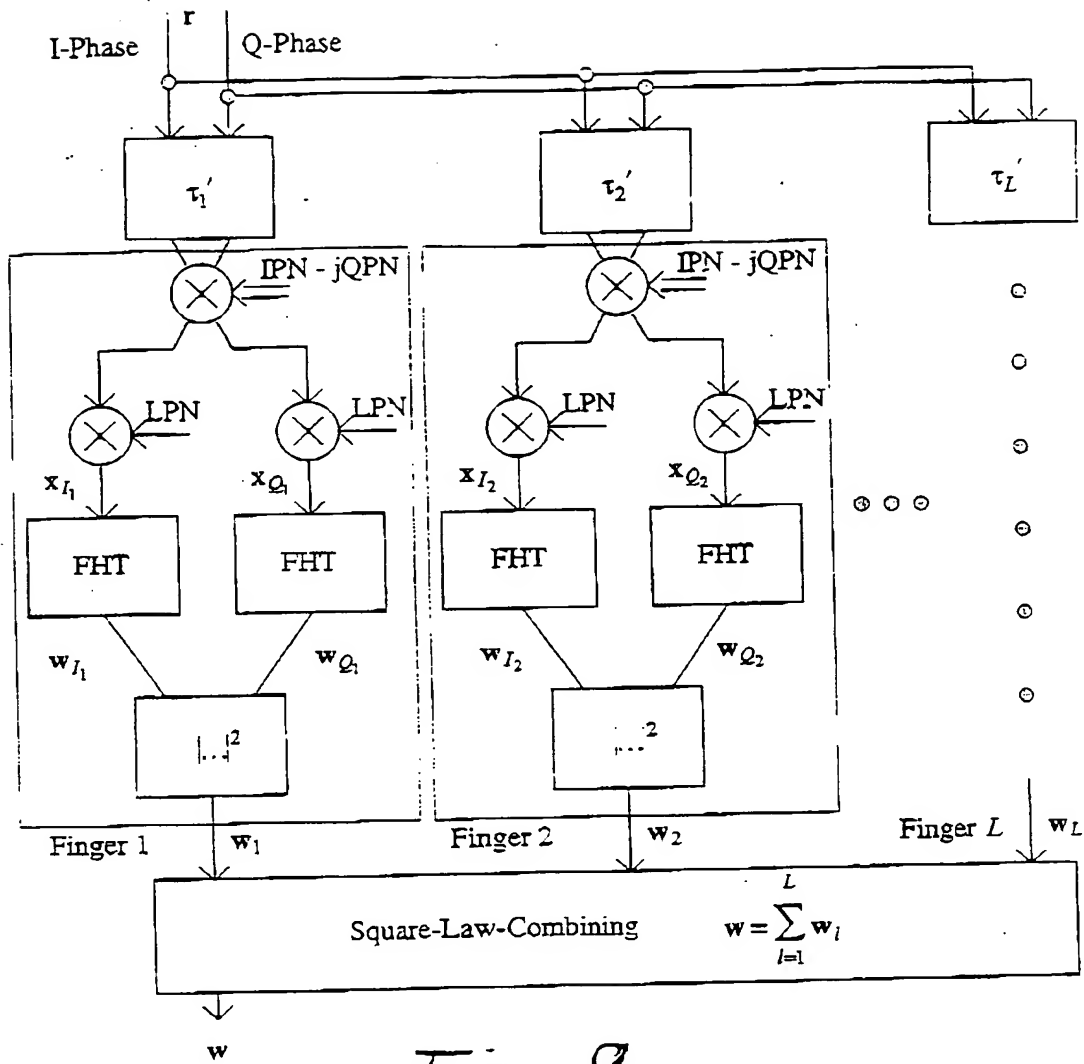


Fig. 9

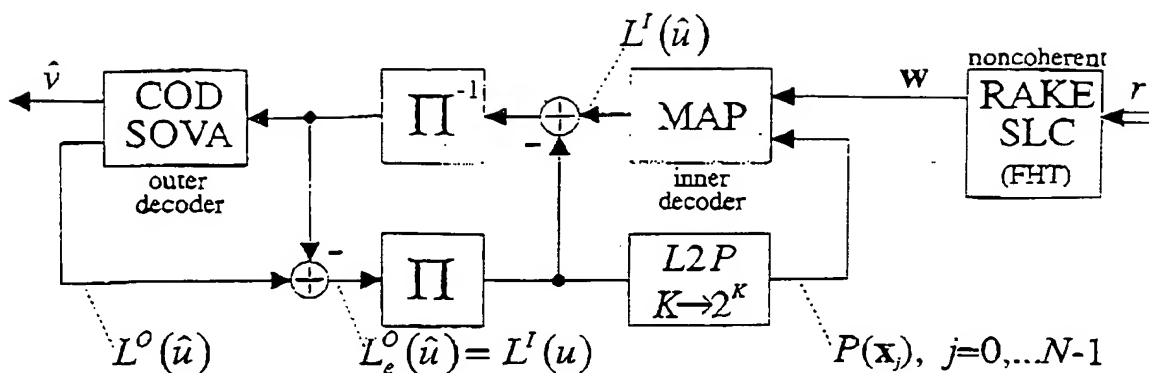


Fig. 10

Iterative decoding in the noncoherent receiver.

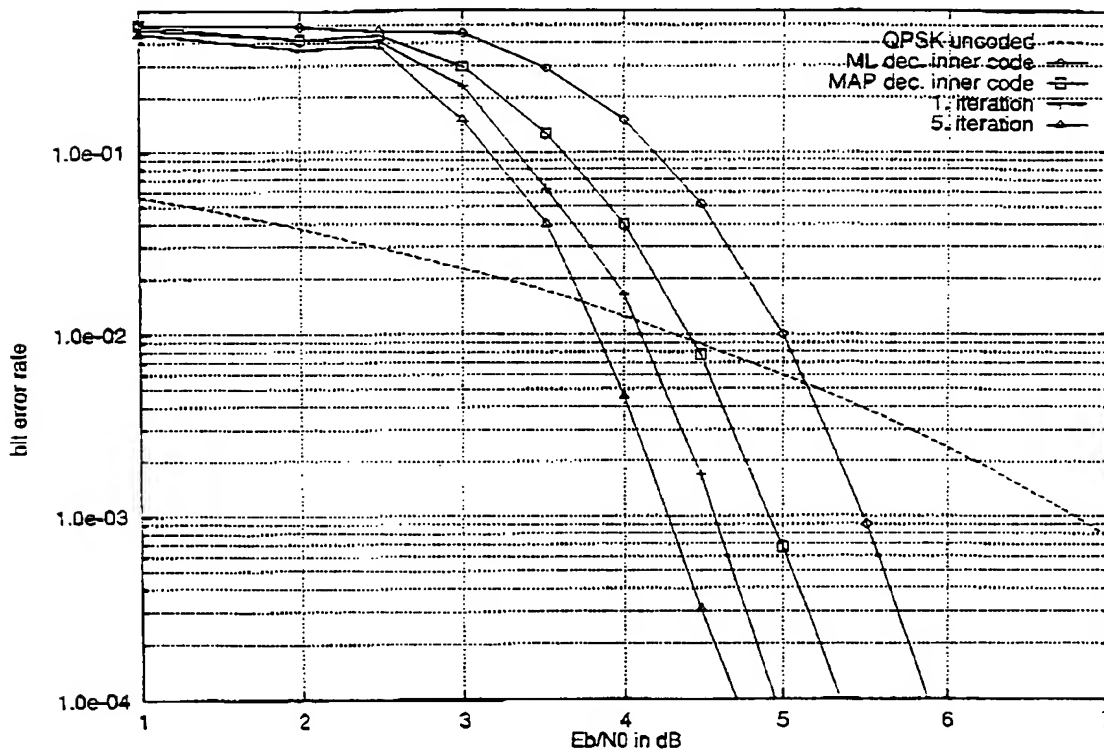


Fig. 11

Simulation results for the noncoherent RAKE receiver.

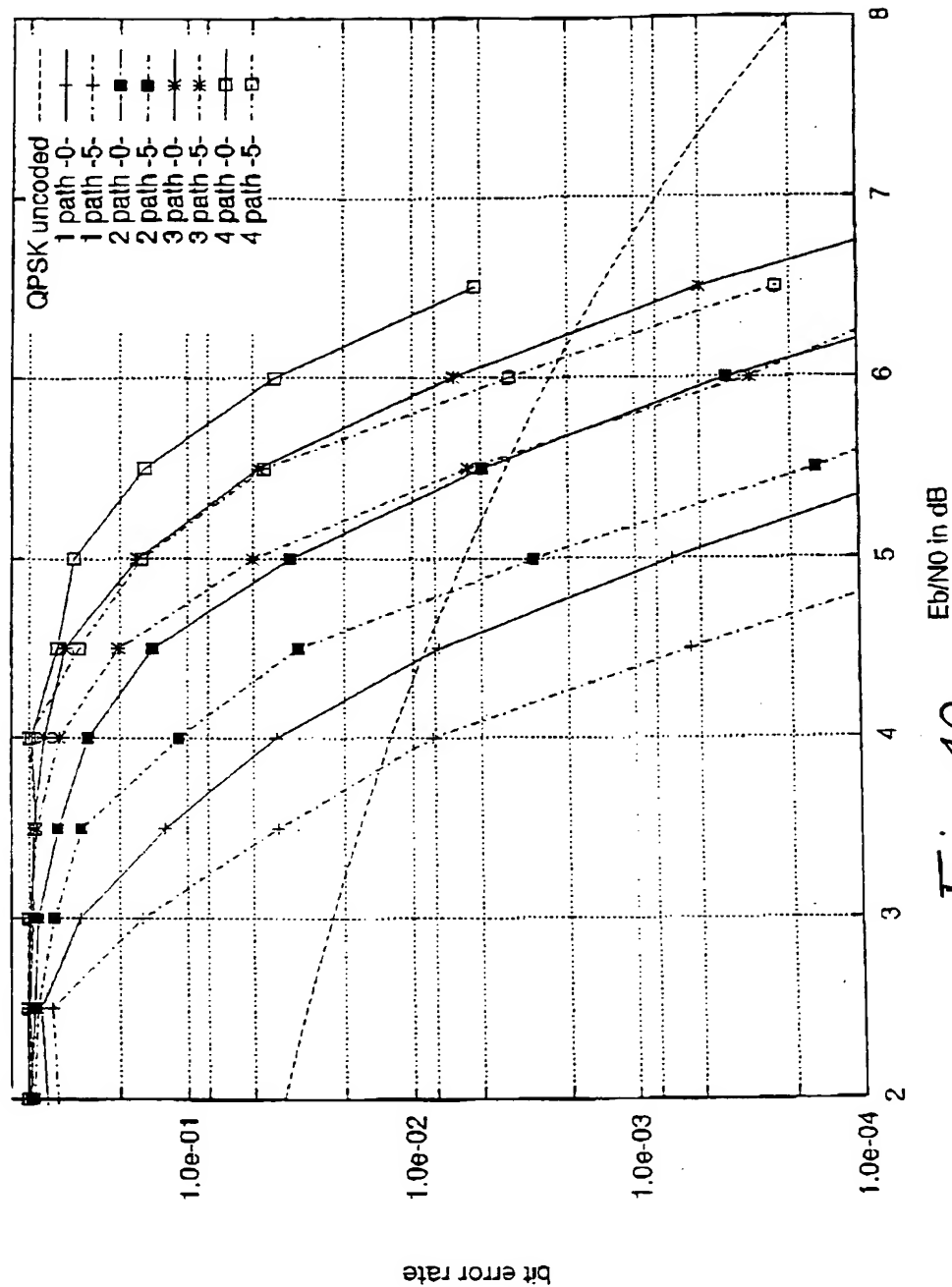


Fig. 12

Simulation results for the noncoherent RAKE receiver with several static multipath channels and MAP

decoding without (-0-) and after the 5th iteration (-5-).